

ПРИГРАНИЧНЫЕ СОСТОЯНИЯ В ОГРАНИЧЕННЫХ ПОЛУПРОВОДНИКОВЫХ СТРУКТУРАХ С ИНВЕРТИРОВАННЫМИ ЗОНАМИ

Идлис Б. Г., Усманов М. Ш.

На примере прямоугольной квантовой ямы конечных размеров с произвольными барьерами, образованной узкощелевыми полупроводниками с взаимно инвертированными зонами, изучены спектр пограничных состояний и правила отбора для оптических и магнитооптических переходов. При учете конечных размеров структуры спектр этих состояний становится щелевым, причем электронная и дырочная ветви спектра двукратно вырождены и отщепляются соответственно от верхней и нижней зон объемных состояний.

Известно, что в полупроводниковых структурах при определенных условиях могут возникать электронные состояния, локализованные вблизи границ раздела (приграничные состояния). В работе [1] предложен новый тип гетероперехода, в котором приграничное состояние появляется независимо от структуры переходного слоя и обусловлено лишь тем, что зоны полупроводников, образующие гетеропереход, взаимно инвертированы. Такой гетеропереход получил название инверсного контакта. Его можно реализовать на основе полупроводниковых соединений групп $A^{IV}B^{VI}$ и $A^{II}B^{VI}$ [2]. Кроме того, серое олово (α -Sn), выращенное на подложке из InSb, обладает по отношению к последней инвертированной зонной структурой [3].

В простейшем случае двухзонной модели инверсного контакта [1] внутри запрещенной зоны возникает невырожденное состояние, локализованное вблизи границы раздела и обладающее линейным спектром вдоль плоскости контакта (вейлевская ветвь). Длина локализации по обе стороны от контакта определяется величиной соответствующей щели. При достаточно широком переходном слое наряду с вейлевской ветвью имеется набор двукратно вырожденных состояний с конечной массой. В случае резкого контакта остается только вейлевская ветвь, причем при одинаковой работе выхода из полупроводников коническая точка лежит точно в середине запрещенной зоны. Связано это с тем, что гамильтониан, описывающий подобные структуры, приводится к суперсимметричной форме и вейлевская ветвь соответствует нулевой моде этого гамильтониана [4]. Учет более сложной (чем двухзонная) структуры, как, например, в $A^{II}B^{VI}$, качественно не меняет результатов [5].

В работах [6-8] благодаря наличию невырожденной нулевой моды в инверсном контакте предсказан ряд специфических явлений, таких как дробление фермионного заряда, аномальный холловский ток в отсутствие магнитного поля и др. Далее будет показано, что учет конечности размеров полупроводниковой структуры приводит к появлению щели в спектре локализованных состояний и двукратному вырождению электронно подобной и дырочно подобной ветвей этих состояний. При этом электронная ветвь отщепляется от верхней зоны объемных состояний, а дырочная — от нижней зоны. При стремлении размеров структуры к бесконечности щель обращается в нуль, однако «нулевая» мода в этом случае все равно остается двукратно вырожденной. Поэтому в реальных физических объектах с конечными размерами нулевая мода в том смысле, который вкладывался в нее в работах [6-8], отсутствует.

Кроме того, в настоящей работе на примере квантовой ямы с конечными размерами и произвольными барьерами изучен спектр приграничных состояний, получены правила отбора для оптических и магнитооптических переходов. В заключение показана эквивалентность подходов для расчета спектров подобных полупроводниковых структур на основе гамильтониана с пространственно зависящими энергетическими параметрами (ширина запрещенной зоны и работа выхода) и с помощью феноменологических граничных условий, предложенных в работе [9].

1. В двухзонном приближении спектр структуры из узкощелевых полупроводников (в которых имеет место инверсия зон) описывается уравнением Дирака с зависящей от координат шириной запрещенной зоны:

$$\hat{H}\hat{\psi} \equiv [\nu\gamma^0\gamma \cdot \hat{p} + \gamma^0\Delta(\mathbf{r}) + G(\mathbf{r})]\hat{\psi} = E\hat{\psi}, \quad (1)$$

где $2\Delta(\mathbf{r})$ — ширина запрещенной зоны в точке \mathbf{r} , $G(\mathbf{r})$ — работа выхода, также зависящая от координат, $\hat{p} = -i\hbar\nabla$, ν — матричный элемент межзонного перехода, который считается константой, γ^0 и $\gamma = (\gamma^1, \gamma^2, \gamma^3)$ — соответствующие матрицы Дирака. Волновая функция $\hat{\psi}$ представляет собой столбец из спиноров ψ_1 и ψ_2 , относящихся к двум ближайшим термам, формирующим зону проводимости и валентную зону полупроводниковой структуры.

В одномерном случае $\Delta = \Delta(z)$ и функцию $\hat{\psi}$ можно выбрать в виде $\hat{\psi} = \hat{\psi}(z) \exp(i\mathbf{k}_\perp \cdot \mathbf{r})$, где $\mathbf{k}_\perp = (k_x, k_y, 0)$. Тогда вместо (1) получим

$$\hat{H}\hat{\psi} \equiv [\nu\gamma^0\gamma^3\hat{p}_z + \hbar\nu\gamma^0(\boldsymbol{\gamma} \cdot \mathbf{k}_\perp) + \gamma^0\Delta(z) + G(z)]\hat{\psi}(z) = E\hat{\psi}(z). \quad (2)$$

Можно убедиться, что с гамильтонианом \hat{H} коммутирует оператор \hat{P} :

$$\hat{P} = \gamma^5(\boldsymbol{\gamma} \cdot \mathbf{l}) = i\gamma^0\gamma^3(\boldsymbol{\gamma} \cdot \mathbf{k}_\perp)/k_\perp, \quad (3)$$

где \mathbf{l} — единичный вектор в плоскости (x, y) , перпендикулярный волновому вектору \mathbf{k}_\perp : $\mathbf{l} = [\mathbf{n} \times \mathbf{k}_\perp]/k_\perp$ (\mathbf{n} — единичный вектор вдоль оси z). Собственные значения оператора \hat{P} равны ± 1 . Чтобы пояснить смысл оператора \hat{P} , представим его в виде

$$\hat{P} = i/2 \gamma^0 \varepsilon_{i,j,k} l_i \gamma^j \gamma^k = \gamma^0 \hat{\Lambda}_l, \quad (4)$$

где $\hat{\Lambda}_l$ — оператор поворота на угол π вокруг направления \mathbf{l} . Поскольку γ^0 есть оператор инверсии координат, из (4) следует, что оператор \hat{P} представляет собой оператор отражения в плоскости, проходящей через ось z и вектор \mathbf{k}_\perp . Поэтому его можно назвать оператором «псевдочетности» и он играет ту же роль, что и оператор спиральности для свободного движения релятивистского электрона. Заметим также, что с оператором \hat{P} связан и оператор проекции спина на направление \mathbf{l} :

$$\hat{\Sigma}_l = (\hat{\Sigma} \cdot \mathbf{l}) = \gamma^0 \hat{P}. \quad (5)$$

В силу сказанного выше в качестве волновых функций гамильтониана (2) можно выбрать собственные функции оператора псевдочетности:

$$\hat{P}\hat{\psi}_\lambda(z) = \lambda\hat{\psi}_\lambda(z), \quad (6)$$

где $\lambda = \pm 1$. Тогда второй член в гамильтониане (2) сводится к выражению

$$\gamma^0(\boldsymbol{\gamma} \cdot \mathbf{k}_\perp) = -ik_\perp \gamma^3 \hat{P}, \quad (7)$$

т. е. для $\hat{\psi}_\lambda(z)$ уравнение Дирака приобретает вид

$$\{\gamma^0[\nu\gamma^3\hat{p}_z + \Delta(z)] - i\gamma^3\lambda\hbar\nu k_\perp + G(z) - E\}\hat{\psi}_\lambda(z) = 0. \quad (8)$$

Положим сначала $G(z)=0$ (что эквивалентно постоянной работе выхода). Для матриц Дирака удобно выбрать представление, использованное в работе [1]:

$$\gamma^0 = \begin{pmatrix} 0 & i \\ -i & 0 \end{pmatrix}, \quad \gamma = \begin{pmatrix} i\sigma & 0 \\ 0 & -i\sigma \end{pmatrix}, \quad \gamma^0\gamma = \begin{pmatrix} 0 & \sigma \\ \sigma & 0 \end{pmatrix}. \quad (9)$$

Тогда решение уравнения (8) с учетом (6) можно представить в виде ($\partial_x \equiv \partial/\partial z$)

$$\hat{\psi}_\lambda(z) = \begin{pmatrix} 1 \\ i\lambda e^{i\theta} \frac{\partial_x + \kappa(z)}{\varepsilon + \lambda k_\perp} \\ -i \frac{\partial_x + \kappa(z)}{\varepsilon + \lambda k_\perp} \\ \lambda e^{i\theta} \end{pmatrix} \varphi(z), \quad (10)$$

где функция $\varphi(z)$ удовлетворяет «квадрированному» уравнению

$$\{[\partial_x - \kappa(z)][\partial_x + \kappa(z)] + \varepsilon^2 - k_\perp^2\} \varphi(z) = 0. \quad (11)$$

Здесь введены обозначения: $\varepsilon = E/\hbar v$, $\kappa(z) = \Delta(z)/\hbar v$, $\exp(\pm i\theta) = (k_x \pm ik_y)/k_\perp$.

Отметим, что в состоянии с волновой функцией $\hat{\psi}_\lambda$ среднее значение спина $\langle \Sigma \rangle$ направлено вдоль вектора \mathbf{l} и в силу (5) равно

$$\Sigma(z) = \lambda (\hat{\psi}_\lambda^\dagger \gamma^0 \hat{\psi}_\lambda) = 4\lambda \varphi(z) \frac{\partial_x + \kappa(z)}{\varepsilon + \lambda k_\perp} \varphi(z). \quad (12)$$

Таким образом, положительная ($\lambda = +1$) и отрицательная ($\lambda = -1$) четности отвечают противоположным направлениям проекции спина на ось \mathbf{l} .

2. Рассмотрим теперь прямоугольную квантовую яму шириной $2a$, образованную полупроводником с инвертированными зонами, окруженным двумя разными полупроводниками с прямым расположением зон (рис. 1). В этом случае

$$\kappa(z) = \kappa + \kappa_L + \kappa_R - (\kappa + \kappa_L) \theta(a+z) - (\kappa + \kappa_R) \theta(a-z), \quad (13)$$

где $\theta(z)$ — единичная ступенчатая функция. Уравнение (11) можно решать в каждой области отдельно, учитывая то, что на границах раздела логарифмическая производная $\varphi(z)$ испытывает скачки:

$$\begin{aligned} (\delta\varphi'/\varphi)|_{-a} &= (\kappa + \kappa_L), \\ (\delta\varphi'/\varphi)|_{+a} &= -(\kappa + \kappa_R). \end{aligned} \quad (14)$$

В результате получим следующее дисперсионное уравнение:

$$\text{th}(2qa) = \frac{q(q_L + q_R + \kappa_L - \kappa_R)}{(\kappa + \kappa_L)(\kappa + \kappa_R) - q^2 - q_L q_R + q_L(\kappa + \kappa_R) - q_R(\kappa + \kappa_L)}, \quad (15)$$

где $q^2 = \kappa^2 + k_\perp^2 - \varepsilon^2$, $q_{L,R}^2 = \kappa_{L,R}^2 - \kappa^2 + q^2$. Пусть для определенности $|\kappa| \ll |\kappa_{L,R}|$. Тогда вещественные значения q отвечают уровням, локализованным у стенок квантовой ямы, мнимые значения q при вещественных q_L и q_R — уровням размерного квантования в яме, а мнимые значения q , q_L и q_R — делокализованным состояниям непрерывного спектра. Мы будем интересоваться локализованными состояниями, происхождение которых имеет ту же природу, что и вейлевская ветвь в одиночном инверсном контакте.

На рис. 2 для различных размеров ямы показаны зависимости от q левой и правой частей уравнения (15) для некоторого соотношения между параметрами κ и $\kappa_{L,R}$. В частности, при $a \rightarrow \infty$ решением (15) является $q = \kappa$ и $\varepsilon = \pm \lambda k_\perp$,

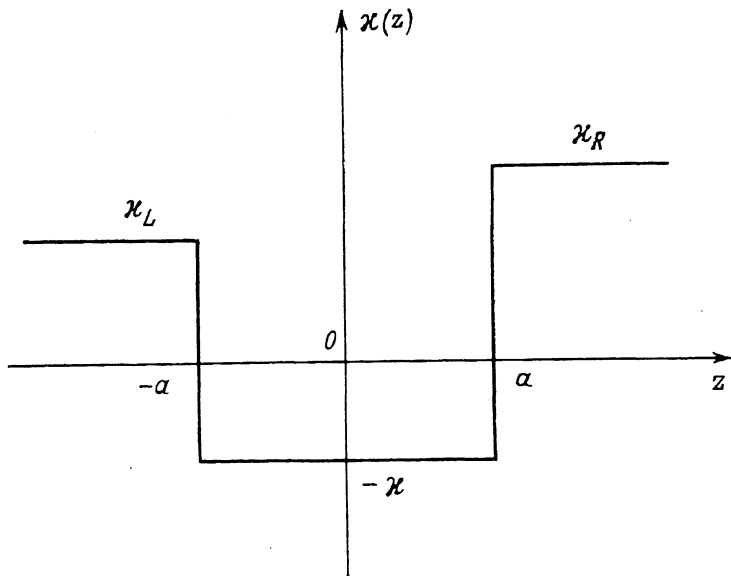


Рис. 1. Потенциальный рельеф для прямоугольной квантовой ямы.

$2a$ — размер ямы, $2\kappa_L$, $2\kappa_R$ и -2κ — значения запрещенной зоны соответствующих полупроводников.

т. е. нулевая мода оказывается двукратно вырожденной ($\lambda = \pm 1$), причем волновые функции этих состояний локализованы у противоположных границ. При уменьшении размеров ямы точка пересечения на рис. 2 смещается к началу координат и спектр локализованных состояний становится щелевым:

$$\epsilon = \pm \sqrt{\kappa^2 - q^2 + k_1^2}. \quad (16)$$

По достижении размера ямы некоторого критического значения $a = a_c$ (зависящего от соотношения между κ и κ_L, κ_R) величина q становится чисто мнимой,

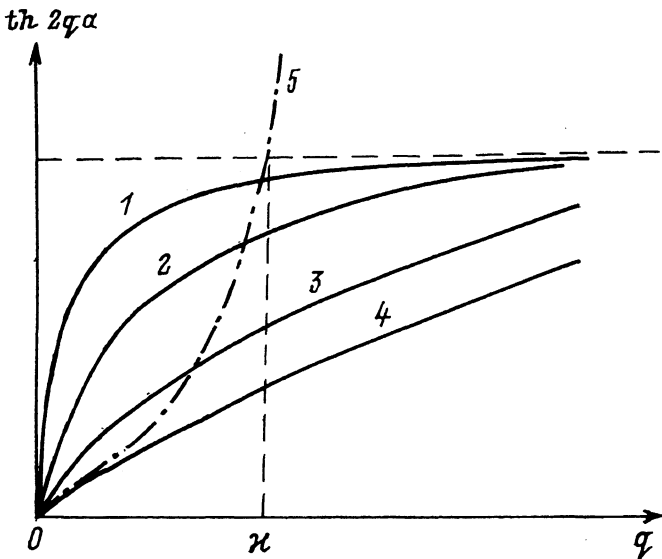


Рис. 2. К графическому решению дисперсионного уравнения (15).

1—4 — зависимости $\text{th}(2qa)$ для разных значений ширины ямы ($a_1 > a_2 > a_3 > a_4$), 5 — зависимость от q правой части уравнения (15). Решению $q = \kappa$ соответствует $a \rightarrow \infty$.

т. е. оба уровня (16) переходят в уровни размерного квантования. Это свидетельствует о том, что электронно подобная и дырочно подобная ветви локализованных состояний отщепляются соответственно от верхней и нижней объемных зон. В связи с этим подчеркнем, что даже в случае отдельного инверсного контакта [6-8] нулевая мода реально вырождена, поскольку всегда имеется вторая граница раздела «инвертированного» полупроводника, например, с вакуумом.

Вернемся к анализу уравнения (15). В общем случае выражение для a_c довольно громоздко. Для симметричной ямы ($\kappa_L = \kappa_R = \kappa_0$) дисперсионное уравнение совпадает с полученным в работах [10, 11]:

$$\text{th}(2qa) = \frac{qq_0}{[\kappa(\kappa + \kappa_0) - q^2]}, \quad (17)$$

откуда следует, что

$$2a_c = \frac{1}{\kappa} \sqrt{\frac{\kappa_0 - \kappa}{\kappa_0 + \kappa}}. \quad (18)$$

В полностью симметричном случае ($\kappa = \kappa_0$) $a_c = 0$, т. е. локализованные у границ состояния есть при любом размере ямы.

3. Наибольшее значение $2a_c = 1/\kappa$ получается при $\kappa \ll \kappa_0$, что соответствует пленке из инвертированного полупроводника, окруженной диэлектриком. Оценка этой величины для полупроводников группы A^{IV}B^{VI} ($2\Delta \approx 100$ мэВ, $v = 3 \cdot 10^7$ см/с) дает $2a_c \approx 200$ Å.

Для пленки можно наглядно продемонстрировать происхождение приграничных состояний. Действительно, в этом случае спектр системы полностью дискретен (в поперечном направлении) и дисперсионное уравнение имеет вид

$$\text{th}(2qa) = \frac{q}{\kappa}. \quad (19)$$

Решения с чисто мнимыми значениями q отвечают уровням размерного квантования с $\epsilon > |\kappa|$. Состояниям внутри запрещенной зоны ($\epsilon < |\kappa|$) соответствуют вещественные q . Решение уравнения (19) показано графически на рис. 3 для полупроводника с прямым ($\kappa < 0$) инвертированным ($\kappa > 0$) расположением зон. Видно, что в первом случае имеются только уровни размерного квантования, которые при уменьшении щели просто сдвигаются ближе к ее краю. При дальнейшем изменении щели она, пройдя через нуль, становится отрицательной ($\kappa > 0$), а уровни по-прежнему непрерывным образом сдвигаются к краю, причем число их не меняется. Наконец, по достижении κ некоторой конечной величины (зависящей от толщины пленки $2a$) мнимое решение с минимальным по модулю значением q переходит в вещественное (рис. 3), т. е. ближайшие к краю запрещенной зоны электронный и дырочный уровни размерного квантования попадают внутрь щели, образуя рассматриваемые в данной работе приграничные состояния.

Для пленки наиболее простой вид имеет и волновая функция (10). В этом случае решением уравнения (11) с соответствующими граничными условиями (14) является

$$\varphi(z) = B \text{sh}[q(a+z)], \quad (20)$$

где B — нормировочный коэффициент. Подставляя $\varphi(z)$ в (10), с учетом (19) получим

$$\hat{\Psi}_\lambda(z) = B \begin{pmatrix} \text{sh}[q(a+z)] \\ i\lambda e^{i\theta} \frac{\sqrt{\kappa^2 - q^2}}{\varepsilon + \lambda k_\perp} \text{sh}[q(a-z)] \\ -i \frac{\sqrt{\kappa^2 - q^2}}{\varepsilon + \lambda k_\perp} \text{sh}[q(a-z)] \\ \lambda e^{i\theta} \text{sh}[q(a+z)] \end{pmatrix}, \quad (21)$$

$$B^2 = \frac{\kappa^2 - q^2}{\kappa - 2a(\kappa^2 - q^2)} \frac{\varepsilon + \lambda k_\perp}{2\varepsilon}. \quad (22)$$

Отметим, что в состоянии с волновой функцией (21) максимумы распределения плотностей заряда и спина не совпадают в пространстве. Действительно, плотность заряда $n_\lambda(z)$ равна

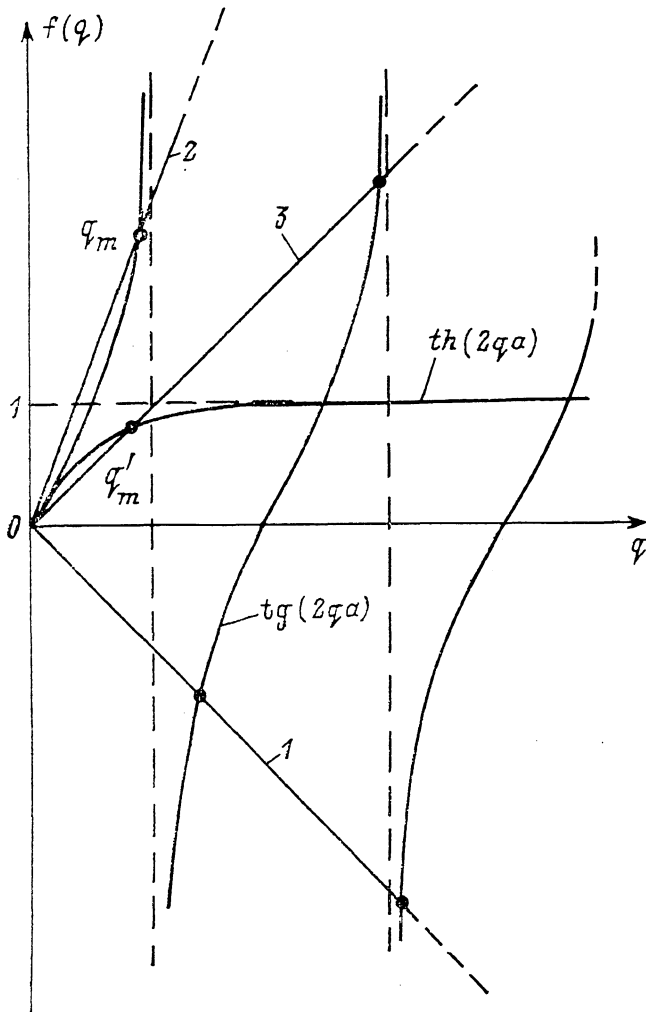


Рис. 3. К решению дисперсионного уравнения (19) для пленки.

Для положительной щели $\varepsilon_g = -2\kappa > 0$ точки пересечения на прямой q/κ (1) отвечают уровням размерного квантования с энергией больше щели. При уменьшении ε_g и смене знака прямая 1 переходит в прямую 2 (пока $a_c = 1/|\varepsilon_g| > a$) и, наконец, в прямую 3 ($a_c < a$). При этом решение с минимальным $|q|$ из чисто мнимого (точка пересечения q_m) переходит в вещественное (точка пересечения q'_m).

$$n_{\lambda}(z) = \hat{\phi}_{\lambda}^{+}(z) \hat{\phi}_{\lambda}(z) = \bar{B}^2 \frac{\varepsilon + \lambda k}{2\varepsilon} \perp \text{sh}^2[q(a+z)] + \frac{\varepsilon - \lambda k}{2\varepsilon} \perp \text{sh}^2[q(a-z)], \quad (23)$$

где

$$\bar{B}^2 = \frac{\kappa^2 - q^2}{\kappa - 2a(\kappa^2 - q^2)}. \quad (24)$$

Распределение спина $\Sigma_{\lambda}(z)$ в соответствии с (12) имеет вид

$$\Sigma_{\lambda}(z) = \lambda \hat{\phi}_{\lambda}^{+} \gamma^0 \hat{\phi}_{\lambda} = \lambda \bar{B}^2 \frac{\kappa}{\varepsilon} 1 - \frac{\text{ch } 2qz}{\text{ch } 2qa}. \quad (25)$$

Отсюда видно, что распределение плотности спина симметрично с максимумом в центре и обращением в нуль на границах пленки. Плотность же заряда, напротив, сконцентрирована на границах, причем с ростом k_{\perp} «электронные» состояния с положительной четностью прижимаются к правой границе, а с отрицательной четностью — к левой. Для «дырочных» состояний происходит обратное.

Наличие псевдочетности приводит к определенным правилам отбора для оптических переходов между локализованными состояниями со спектром (16). В отличие от инверсного контакта матричный элемент скорости (для перехода $\varepsilon_{\lambda} \rightarrow \varepsilon_{\lambda'}$)

$$v = v \langle \hat{\phi}_{\lambda'} | \gamma^0 \gamma | \hat{\phi}_{\lambda} \rangle \quad (26)$$

имеет отличные от нуля компоненты как в плоскости пленки, так и поперек нее:

$$\begin{aligned} v_{\parallel} &= i\lambda v (1 - \delta_{\lambda\lambda'}), \\ v_{\kappa\perp} &= \lambda v \frac{\sqrt{\kappa^2 - q^2}}{|\varepsilon|} \delta_{\lambda\lambda'}, \\ v_z &= i v \frac{2(2a\kappa - 1)}{\kappa - 2a(\kappa^2 - q^2)} \sqrt{\kappa^2 - q^2} \text{sign}(\varepsilon) \delta_{\lambda\lambda'}. \end{aligned} \quad (27)$$

Отсюда видно, что для света, поляризованного вдоль направления \mathbf{l} , разрешенными являются переходы с изменением четности, причем выражение для v_{\parallel} совпадает с соответствующим выражением для инверсного контакта [11]. Для света, поляризованного в плоскости (k_{\perp}, z) , разрешены переходы с сохранением четности. В случае инверсного контакта, когда нулевая мода невырождена, такие переходы невозможны. Из (27) видно также, что компоненты $v_{\kappa\perp}$ и v_z пропорциональны величине $(\kappa^2 - q^2)^{1/2}$, т. е. уменьшаются с ростом толщины пленки (и в пределе $a \rightarrow \infty$ обращаются в нуль). Связано это с тем, что волновые функции электронных и дырочных состояний с одинаковой четностью локализованы у противоположных границ пленки [см. (23)]. Используя (27), можно рассчитать частотную зависимость поглощения света с различной поляризацией. Например, коэффициент прохождения света, линейно поляризованного в плоскости пленки, равен

$$R(\omega) = \pi \frac{e^2}{\hbar c n} \left[1 + \left(\frac{E_g}{\hbar \omega} \right)^2 \right] \Theta(\hbar \omega - E_g), \quad (28)$$

где $E_g = 2\hbar v (\kappa^2 - q^2)^{1/2}$ — щель в спектре локализованных состояний, n — показатель преломления пленки.

4. Рассмотрим теперь, как модифицируется спектр (16) в однородном магнитном поле \mathbf{H} , направленном вдоль оси z . Для этого в гамильтониане \hat{H} (1) оператор импульса \hat{p} заменим на оператор $\hat{\pi} = \hat{p} - (e/c) \mathbf{A}$, где \mathbf{A} — векторный потенциал, который выберем в калибровке:

$$\mathbf{A} = \frac{1}{2} [\mathbf{H} \times \boldsymbol{\rho}], \quad (29)$$

где $\rho=(x, y)$. В этом случае гамильтониан приобретает вид

$$\hat{H}_A = [\nu\gamma^0\gamma^3\hat{p}_z + \gamma^0\Delta(z) + \nu\gamma^0(\gamma_+\hat{\pi}_- + \gamma_-\hat{\pi}_+)], \quad (30)$$

где $\gamma_{\pm}=(\gamma^1 \pm i\gamma^2)$, $\hat{\pi}_{\pm}=(\hat{\pi}_x \pm i\hat{\pi}_y)$. Можно убедиться, что с этим гамильтонианом коммутирует оператор

$$\hat{P}_A = \gamma^5(\boldsymbol{\gamma} \cdot [\mathbf{n} \times \hat{\boldsymbol{\pi}}_{\perp}]) = i\gamma^0\gamma^3(\gamma_+\hat{\pi}_- + \gamma_-\hat{\pi}_+), \quad (31)$$

который является простым обобщением оператора (3) на случай наличия магнитного поля. Собственные функции оператора (31) определяются следующим образом. Используя коммутационные свойства матриц γ_{\pm} , получим

$$\hat{P}_A^2 = \hat{\pi}_+\hat{\pi}_- + (1 + \hat{\Sigma}_3) \frac{\hbar^2}{L^2}, \quad (32)$$

где $\hat{\Sigma}_3$ — оператор проекции спина на ось z , $L^2 = \hbar c / |e| H$ — магнитная длина. Собственными функциями оператора $\hat{\pi}_+\hat{\pi}_-$ являются функции осциллятора Ландау $\Phi_n(x, y)$, причем

$$\pi_+\pi_-\Phi_n(x, y) = 2n \frac{\hbar^2}{L^2} \Phi_n(x, y), \quad n = 0, 1, 2, \dots \quad (33)$$

Поскольку в представлении (9) оператор спина $\hat{\Sigma}$ диагонален, компоненты собственного биспинора $\hat{\psi}$ оператора (32), а следовательно, и оператора \hat{P}_A можно представить в виде

$$\hat{\psi}_{1,3} = \Phi_{n-1}(x, y) f_{1,3}(z), \quad (34a)$$

$$\hat{\psi}_{2,4} = \Phi_n(x, y) f_{2,4}(z). \quad (34b)$$

Тогда с учетом того, что

$$\hat{P}_A \hat{\psi} = \frac{\lambda \hbar}{L} \sqrt{2n} \hat{\psi}, \quad (35)$$

уравнение Дирака для $\hat{\psi}$ примет следующий вид:

$$\left\{ \gamma^0 [\nu\gamma^3\hat{p}_z + \Delta(z)] - i\gamma^3\lambda\hbar\nu \frac{\sqrt{2n}}{L} - E \right\} \hat{\psi} = 0. \quad (36)$$

Из сравнения этого выражения с (8) следует, что все различие сводится к замене k_{\perp} на величину $\sqrt{2n}/L$, т. е. в однородном магнитном поле, направленном вдоль оси z , происходит квантование Ландау и спектр (16) приобретает вид

$$\epsilon = \pm \sqrt{\kappa^2 - q^2 + 2n/L^2}. \quad (37)$$

Спинорная структура волновой функции имеет тот же вид, что и (21), с добавлением орбитальных множителей Φ_{n-1} и Φ_n в соответствии с (34) и заменой k_{\perp} на $\sqrt{2n}/L$. Угол θ определяется калибровкой векторного потенциала и в случае (29) равен $\pi/2$. При $n=0$ компоненты $\psi_{1,3}^{(0)}=0$, так что нулевые уровни Ландау с энергиями $\epsilon = \pm\sqrt{\kappa^2 - q^2}$ не вырождены. Остальные уровни с $n \neq 0$ остаются двукратно вырожденными по четности $\lambda = \pm 1$.

Аналогично (27) можно вычислить матричные элементы переходов между уровнями Ландау. Для света, распространяющегося перпендикулярно магнитному полю и поляризованного вдоль оси z (конфигурация Фойгта), разрешены переходы только между уровнями с одинаковыми индексами n («межзонные» переходы), а сам матричный элемент совпадает с соответствующим выражением (27) для ν_2 . В конфигурации Фарадея, когда свет распространяется вдоль маг-

нитного поля, имеет смысл говорить о правой и левой его циркулярных поляризациях в плоскости пленки. В этом случае разрешены переходы между уровнями Ландау с номерами n и $n' = n \pm 1$, причем для переходов с увеличением номера n активна правая поляризация, а для переходов с уменьшением n — левая. При этом возможны переходы как «межзонные», и так «внутризонные». Выражения для соответствующих матричных элементов $v_{\pm} = (v_x \pm i v_y)/2$ довольно громоздки по сравнению с (27) и мы их не приводим.

5. Спектр поверхностных состояний в пленке и полубесконечном кристалле узкощелевого полупроводника рассматривался ранее [9], где решалось уравнение (2) с постоянной щелью $\Delta(z) = \Delta$ (и $G=0$) с использованием феноменологических граничных условий:

$$\hat{\psi} = -i\hat{A}(\gamma \cdot n)\hat{\psi}. \quad (38)$$

Здесь n — нормаль к поверхности, A — некоторая эрмитова матрица. Заметим, что из этого соотношения следует отсутствие тока через границы раздела. В работе [9] установлено, что матрица \hat{A} определяется единственным вещественным параметром a_0 :

$$\hat{A} = 1/2 \{ (a_0 + 1/a_0) + (a_0 - 1/a_0) \gamma^0 \}. \quad (39)$$

Волновая функция (21) также удовлетворяет условию (38) с единичной матрицей $\hat{A} = I$, т. е. при $G(z) = 0$ параметр $a_0 = 1$. Покажем, что возможное отличие a_0 от единицы связано с конечной работой выхода. Действительно, квадрату уравнение (8), получим

$$\left\{ \hat{p}_x^2 + k_{\perp}^2 + \kappa^2(z) - [\varepsilon - g(z)]^2 + i \frac{\partial}{\partial z} [\gamma^3 \kappa(z) - \gamma^0 \gamma^3 g(z)] \right\} \hat{\psi} = 0. \quad (40)$$

Если зависимости $k(z)$ и $g(z)$ определяются одной и той же функцией $f(z)$, а именно

$$\kappa(z) = \kappa_0 f(z), \quad g(z) = g_0 f(z), \quad (41)$$

то матричную часть уравнения (40) можно диагонализировать с помощью канонического (неунитарного) преобразования $\hat{\psi} = \hat{S} \hat{\chi}$, где

$$\hat{S} = \exp\left(\frac{\varphi}{2} \gamma^0\right) = \text{ch} \frac{\varphi}{2} + \gamma^0 \text{sh} \frac{\varphi}{2}, \quad (42)$$

а угол φ определяется условием $\text{th} \varphi = g_0/\kappa_0$. Компоненты $\hat{\chi}$ удовлетворяют суперсимметричным уравнениям [5]:

$$\left[\hat{p}_x^2 + \omega^2(z) \mp \sigma_x \frac{d\omega}{dz} + k_{\perp}^2 - \varepsilon^2 \right] \hat{\chi}_{1,2} = 0, \quad (43)$$

где $\varepsilon = \varepsilon \kappa_0 / (\kappa_0^2 - g_0^2)^{1/2}$, а «суперпотенциал» $\omega(z)$ имеет вид

$$\omega(z) = \sqrt{\kappa_0^2 - g_0^2} f(z) + \varepsilon (g_0/\kappa_0). \quad (44)$$

Произведя преобразование (42) над линейным уравнением (8), получим также

$$\{\gamma^0 [\gamma^3 \hat{p}_x + \omega(z)] - i \gamma^3 \lambda k_{\perp} - \varepsilon\} \hat{\chi}(z) = 0. \quad (45)$$

Уравнения (43) и (46) по виду совпадают с соответствующими уравнениями (11) и (8) при $G(z) = 0$. Кроме того, поскольку оператор \hat{P} (3) коммутирует с \hat{S} , $\hat{\chi}$ является собственной функцией \hat{P} с тем же собственным значением λ , что и функция $\hat{\psi}_{\lambda}$. Поэтому, в частности, для $f(z)$ в виде прямоугольной ямы решение для $\hat{\chi}_{\lambda}$ с точностью до переобозначений совпадает с (21) и удовлетворяет

граничным условиям $\hat{\chi} = -i(\gamma \cdot n)\hat{\chi}$. Отсюда после обратного преобразования $\hat{\chi} = \hat{S}^{-1}\hat{\psi}$ имеем

$$\hat{\psi} = -i\hat{S}(\gamma \cdot n)\hat{S}^{-1}\hat{\psi} = -i\hat{S}^2(\gamma \cdot n)\hat{\psi}, \quad (46)$$

т. е. матрица \hat{A} в (38) совпадает с квадратом оператора (42) и

$$a_0 = \text{ch } \varphi + \text{sh } \varphi = \text{sign}(\kappa_0) \sqrt{\frac{1 - g_0/\kappa_0}{1 + g_0/\kappa_0}}. \quad (47)$$

Видно, что при $g_0=0$ параметр $a_0 = \pm 1$ в зависимости от того, инвертированы зоны полупроводниковой пленки или нет. При $g_0 \neq 0$ он может быть по модулю как меньше, так и больше единицы, что зависит от знака g_0/κ_0 . Для ступенчатого гетероперехода g_0 представляет собой разность работ выхода из полупроводников. Поэтому при $g_0/\kappa_0 > 0$ разрыв валентной зоны на переходе меньше, чем разрыв зоны проводимости, а при $g_0/\kappa_0 < 0$ наоборот.

Следует отметить, что наличие конечной работы выхода g_0 приводит к появлению приграничных состояний и в обычных, неинвертированных гетеропереходах. Для резких переходов на это, по-видимому, впервые указано в работе [12]. Однако вывод справедлив и для плавных переходов, как это видно из выражений (43) и (44). Действительно, если асимптотики у функции $f(z)$ при $z = \pm \infty$ одинаковы по знаку, но разные по величине (несимметричный гетеропереход без инверсии зон), то имеется конечный интервал энергий ε , в котором соответствующие асимптотики суперпотенциала (44) противоположны по знаку. Это означает наличие нулевой моды в уравнении (43), т. е. локализованных на границе раздела состояний независимо от формы переходного слоя. По энергии эти состояния перекрываются либо с валентной зоной ($g_0 > 0$), либо с зоной проводимости ($g_0 < 0$).

В заключение авторы выражают благодарность Б. А. Волкову и М. М. Мухоманову за полезные обсуждения в процессе выполнения настоящей работы.

Список литературы

- [1] Волков Б. А., Панкратов О. А. // Письма ЖЭТФ. 1985. Т. 42. В. 4. С. 145—148.
- [2] Nimitz G., Schlicht B., Dornhaus R. *Narrow-gap semiconductors*. Springer-Tracts in Mod. Phys. Berlin, 1983.
- [3] Yuen W. T., Lin W. K., Holmes S. N. // *Semicond. Sci. Techn.* 1989. V. 4. P. 819—823.
- [4] Генденштейн Л. Э., Криве И. В. // УФН. 1985. Т. 146. В. 4. С. 553—590.
- [5] Pankratov O. A., Pakhomov S. V., Volkov B. A. // *Sol. St. Commun.* 1987. V. 61. N 2. P. 93—96.
- [6] Панкратов О. А. // Письма ЖЭТФ. 1987. Т. 45. В. 2. С. 82—85.
- [7] Панкратов О. А. // Письма ЖЭТФ. 1987. Т. 45. В. 7. С. 317—319.
- [8] Pankratov O. A. // *Phys. Lett. A.* 1987. V. 121. N 7. P. 360—366.
- [9] Волков В. А., Пинскер Т. Н. // ФТТ. 1981. Т. 23. В. 6. С. 1756—1759.
- [10] Korenman V., Drew H. D. // *Phys. Rev. B.* 1987. V. 35. N 2. P. 6446—6449.
- [11] Agassi D., Korenman V. // *Phys. Rev. B.* 1988. V. 37. N 17. P. 10095—10106.
- [12] Райчев О. Э. // ФТП. 1989. Т. 23. В. 7. С. 1226—1229.

Физический институт им. П. Н. Лебедева

РАН
Москва

Получена 10.07.1991
Принята к печати 21.08.1991